

# فرمول بندی بسته معادلات دینامیکی رباتهای صفحه‌ای با N درجه آزادی

سید احمد فاضل زاده حقیقی  
مربی دانشکده مهندسی مکانیک  
دانشگاه شیراز

علی مقداری  
دانشیار دانشکده مهندسی مکانیک  
دانشگاه صنعتی شریف

## چکیده

در مقاله حاضر فرمول بندی بسته‌ای از معادلات دینامیکی رباتهای صفحه‌ای  $N$  بازویی با جرمهای متمرکز در انتهای هر بازو، ارائه گردیده است. مراحل انجام کار براساس استفاده از شتابهای جزئی و بکارگیری روش دالامبر می‌باشد. تفکیک شتابهای وارده بر هر جرم به شتابهای زاویه‌ای، کوریولیس، گریز از مرکز و شتاب جاذبه و بررسی جداگانه اثر هر کدام، روند مناسبی برای رسیدن به فرم بسته معادلات ایجاد نموده است. بدست آوردن معادلات دینامیکی بطور مستقیم و بدون انجام عملیات واسطه‌ای نظیر مشتق‌گیری، معکوس سازی و... و سهولت در دست‌یابی به معادلات بطور دستی از مزایای معادلات ارائه شده می‌باشد.

## A Closed - Form Formulation of the Dynamical Equations of N - Axis Planar Manipulators

S.A. Fazelzadeh-Haghighi

Lecturer Mechanical Engineering Department  
Shiraz University

A. Meghdari

Associate Prof.  
Mechanical Engineering Department  
Sharif University of Technology

### ABSTRACT

*This paper presents a closed - form formulation of the dynamical equations of N-axis planar manipulator arms. The method is based on the definition of partial accelerations, and D'Alembert principle.*

*Decomposing the acceleration applied on each link (concentrated mass at the distal end of each link) into the angular, Coriolis, centripetal and gravitational accelerations and studying their effects separately, has resulted in an efficient way of obtaining dynamical equations in a closed - form.*

### ۱- مقدمه

ارتباط با عملکرد و کنترل ربات، معادلات دینامیکی برای محاسبه گشتاور و نیروهای محرک در طی مسیر از پیش تعیین شده مورد توجه می‌باشند. معادلات دینامیکی رباتها بر اساس روشهای متنوعی نظیر

در رباتها دو مسأله وجود دارد که معادلات دینامیکی نقش عمده‌ای در آنها ایفا می‌نمایند. در طراحی، معادلات دینامیکی برای شبیه‌سازی حرکت و بهینه‌سازی پارامترها بکار می‌روند. در

لاگرانژ، نیوتن اوایلر، کین و اصلاحاتی که بر روی هر کدام از آنها شده است بدست می‌آیند [۲ و ۱] و مبنای توسعه روشهای نوین بر اساس کاهش حجم محاسبات می‌باشد [۳ و ۲]. در روشهای مرسوم، معادلات حاکمه بازاء یک فاصله زمانی محدود و برای یک موقعیت مشخص حل می‌گردند و در مراحل زمانی بعد، مجدداً تمامی عملیاتی که منجر به معادلات نهایی می‌گردند تکرار می‌شوند. از این رو در مراحل عددی راندمان روش انتخابی نقش تعیین کننده‌ای ایفا می‌نماید. اساس بهره‌وری روشها بر مبنای تعداد عملیات جمع، ضرب و حافظه اشغال شده توسط کامپیوتر برای ایجاد معادلات دینامیکی می‌باشد. از این رو چنانچه معادلات دینامیکی بطور تحلیلی ایجاد شوند به مراتب از روشهای عددی سودمندتر و بهینه‌تر می‌باشند [۴]. همچنین فرم تحلیلی معادلات دینامیکی بر حسب پارامترهای فیزیکی و مکانی ربات دید مناسبتری از فیزیک سیستم را برای مهندسان طراح، بویژه در مراحل خطی کردن معادلات دینامیکی، بررسی تقابل دینامیکی و طراحی و ارزیابی سیستم کنترل فیدبک ایجاد می‌کند [۵]. در رباتهای ساده و با درجات آزادی کم با بکارگیری روش لاگرانژ و انجام عملیات بوسیله دست می‌توان معادلات دینامیکی را بصورت تحلیلی بدست آورد. چنانچه درجات آزادی از عدد ۳ تجاوز کند یافتن معادلات تحلیلی با دست بسیار مشکل خواهد شد و برای درجات آزادی بیش از ۳ تقریباً غیرممکن می‌باشد [۶].

در چند سال اخیر تحقیقات جدیدی برای ایجاد معادلات به شکل پارامتریک بوسیله کامپیوتر صورت گرفته و چندین برنامه کامپیوتری توسعه یافته است. این برنامه‌ها بطور عمده از روش لاگرانژ و روشهای اصلاح شده مرتبط با آن استفاده می‌کنند [۶ و ۷]. اگرچه روش لاگرانژ از نظر حجم محاسبات در روشهای عددی از راندمان بسیار کمی برخوردار می‌باشند ولی در روشهای تحلیلی بدلیل خواص ویژه‌ای که دارد مورد استفاده قرار می‌گیرد [۱، ۲ و ۷]. اگر چه مسأله مورد بررسی یک حالت خاص از حالت‌های کلی رباتها می‌باشد ولی حالت کاربردی زیادی دارد و در حل معادلات دینامیکی رباتهای ماری شکل و مزدوج N بازویی سودمند می‌باشد [۸].

## ۲- قراردادهای هندسی و سینماتیکی

ربات صفحه‌ای مورد مطالعه شامل یک زنجیره N بازویی صلب است که اجزاء آن بوسیله مفاصل لولایی به هم متصل

شده‌اند (شکل ۱). به منظور سهولت در بدست آوردن معادلات دینامیکی جرم هر بازو بطور متمرکز در انتهای آن در نظر گرفته شده است و بطور مستقیم ممان اینرسی صفحه‌ای بازوها در معادلات وارد نشده‌اند. نهایتاً به منظور اعمال اثر ممانهای اینرسی می‌توان مفاصل مجازی در سنترئید هر بازو ایجاد نمود، بطوری که زاویه بین دو عضو جدیدی که در دو طرف مفصل مجازی ایجاد می‌شود، صفر باشد و عملاً هیچگونه افزایش درجه آزادی بوجود نخواهد آمد. فاصله مفصل مجازی از مفصل اصلی را می‌توان طبق معادله (۱) بدست آورد.

$$K_i = \sqrt{\frac{I_i}{m_i}} \quad (1)$$

بطوری که  $I_i$ ،  $m_i$  و  $k_i$  بترتیب ممان اینرسی، جرم و شعاع زیراسیون بازوی نام می‌باشند.

طبق شکل (۱) پایه ربات در مفصل شماره ۱ در یک سیستم مختصات مرجع اینرسی  $X_0 - Y_0$  ثابت شده است و سیستم مختصات  $X_1 - Y_1$  بر  $X_0 - Y_0$  منطبق است. قراردادهای سینماتیکی بر اساس علائم دناویت - هارتبرگ می‌باشند [۹]. طبق این قرارداد رابطه سینماتیکی بین دو رابط صلب متوالی در یک ربات که با مفاصل یک درجه آزادی به یکدیگر متصل شده‌اند (شکل ۲)، توسط ماتریس زیر قابل توصیف است.

$${}^{i-1}T_i = \begin{bmatrix} C\theta_i & -S\theta_i & 0 & a_{i-1} \\ S\theta_i C\alpha_{i-1} & C\theta_i C\alpha_{i-1} & -S\alpha_{i-1} & -S\alpha_{i-1}d_i \\ S\theta_i S\alpha_{i-1} & C\theta_i S\alpha_{i-1} & C\alpha_{i-1} & C\alpha_{i-1}d_i \\ 0 & 0 & 0 & 1 \end{bmatrix} \quad (2)$$

بطوری که  $S_i = \sin(\theta_i)$  و  $C_i = \cos(\theta_i)$  و پارامترهای  $a_i$ ،  $d_i$  و  $\theta_i$  طبق قواعد زیر مشخص می‌شوند.

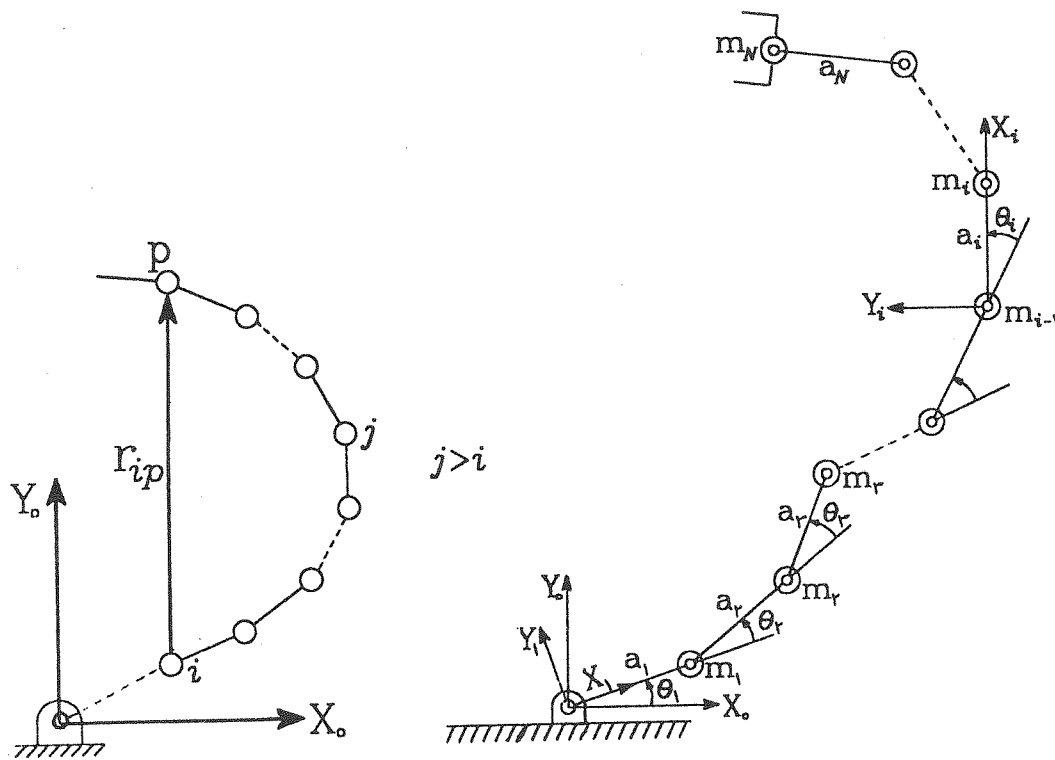
$a_i$ ، فاصله بین  $Z_i$  تا  $Z_{i+1}$  که در امتداد  $X_i$  اندازه گیری می‌شود.  
 $\alpha_i$ ، زاویه بین  $Z_i$  و  $Z_{i+1}$  که حول  $X_i$  سنجیده می‌شود.  
 $d_i$ ، فاصله بین  $X_i$  تا  $X_{i-1}$  که در امتداد  $Z_i$  اندازه گیری می‌شود.  
 $\theta_i$ ، زاویه بین  $X_{i-1}$  و  $X_i$  که حول  $Z_i$  سنجیده می‌شود.

همچنین به منظور تبدیل سیستم مختصات P ام به سیستم مختصات مرجع O می‌توان از قاعده زنجیری انتقال، طبق معادله (۳) استفاده کرد. (۳)

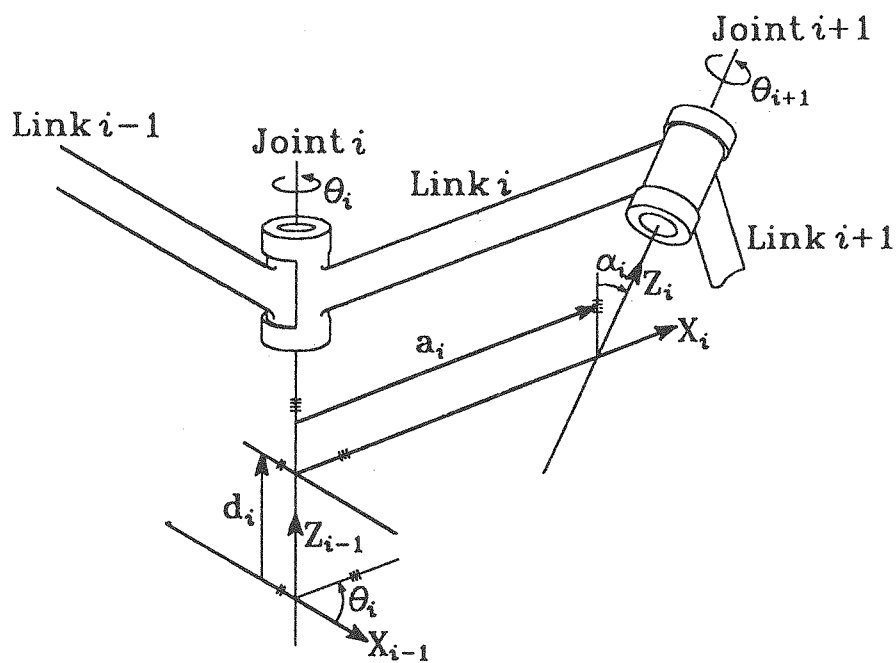
$${}^0T_P = {}^0T_1 {}^1T_2 {}^2T_3 \dots {}^{P-1}T_P$$

## ۳- معادلات سینماتیکی

با توجه به خصوصیات رباتهای صفحه‌ای عملاً پارامترهای  $\alpha_i$  و  $d_i$  برابر صفر می‌باشند و  $a_i$  طول هر بازو و  $\theta_i$  زاویه نسبی بین



شکل (۱) یک ربات صفحه‌ای با  $N$  درجه آزادی و مفاصل لولایی



شکل (۲) توصیف سینماتیک دو رابط صلب متوالی در یک ربات

دو بازوی متوالی می‌باشد، با جایگذاری مقادیر فوق در معادله (۲) و استفاده از معادله (۳) و قواعد مثلثاتی (سینوس و کسینوس مجموع دو زاویه) ماتریس تبدیل سیستم مختصات P ام به سیستم مختصات مرجع بصورت معادله (۴) قابل بیان است.

$${}^0T_P = \begin{bmatrix} C_{1P} & -S_{1P} & 0 & \sum_{j=1}^P a_j C_{1j} \\ S_{1P} & C_{1P} & 0 & \sum_{j=1}^P a_j S_{1j} \\ 0 & 0 & 1 & 0 \\ 0 & 0 & 0 & 1 \end{bmatrix} \quad (4)$$

بطوری که:

$$\begin{aligned} C_{1j} &= \cos(\theta_1 + \theta_2 + \dots + \theta_j) \\ S_{1j} &= \sin(\theta_1 + \theta_2 + \dots + \theta_j) \end{aligned} \quad (5)$$

و ماتریس دوران بین سیستم مختصات P ام و سیستم مختصات مرجع برابر است با:

$${}^0R_P = \begin{bmatrix} C_{1P} & -S_{1P} & 0 \\ S_{1P} & C_{1P} & 0 \\ 0 & 0 & 1 \end{bmatrix} \quad (6)$$

برای تبدیل بردار  $r_P$  در سیستم مختصات P نسبت به سیستم مختصات مرجع داریم:

$${}^0r_P = {}^0R_P P r_P \quad (7)$$

بطوری که بردار  ${}^P r_P$  برای بازوی P ام بصورت زیر می‌باشد:

$${}^P r_P = [a_p \quad 0 \quad 0]^T \quad (8)$$

با جایگذاری معادله (۶) و (۸) در معادله (۷) خواهیم داشت:

$${}^0r_P = [a_p C_{1P} \quad a_p S_{1P} \quad 0]^T \quad (9)$$

معادله (۹) را می‌توان به فرم معادله (۱۰) نوشت:

$${}^0r_P = a_p (C_{1P} \vec{i} + S_{1P} \vec{j}) \quad (10)$$

آزبردارهایی در سیستم مختصات مرجع می‌باشند.  ${}^0r_P$  بردار  $r_P$  در سیستم مختصات مرجع  $X_0-Y_0$  می‌باشد. به منظور فشرده‌تر شدن معادلات، فاصله برداری مفصل i ام تا مفصل P+1 ام (یا جرم P ام) ربات در سیستم مختصات مرجع را بصورت  $r_{ip}$  نمایش می‌دهیم.

$$r_{ip} = \sum_{q=i}^P r_q = r_i + r_{i+1} + \dots + r_p \quad (11)$$

مطابق شکل (۱) شتاب کل وارده بر جرم P ام، متأثر از شتابهای مفاصلی است که در حد فاصل سیستم مختصات  $X_p-Y_p$  و سیستم مختصات مرجع  $X_0-Y_0$  قرار گرفته‌اند. برای بدست

آوردن شتاب کل وارده بر جرم P ام از شتابهای جزئی که در اثر سرعتها و شتابهای زاویه‌ای جزئی حاصل از چرخش مفاصلی که قبل از آن واقع‌اند استفاده خواهد شد [۱۰ و ۱۱].

سرعتها و شتابهای زاویه‌ای جزئی، مشتقات اول و دوم سیستم مختصات تعمیم یافته  $\theta_j$  می‌باشند. بمنظور محاسبه اثر شتاب جزئی مفصل زام بر جرم P ام، بردار مکان  $r_{jp}$  از معادله (۱۱) را انتخاب و اثرات سرعت زاویه‌ای جزئی  $\omega_j$  و شتاب زاویه‌ای جزئی  $\alpha_j$  مفصل زام بر بردار  $r_{jp}$  را مطالعه می‌کنیم.

بر اساس قوانین حاکم بر سینماتیک اجسام صلب، چنانچه نقطه P+1 در سیستم مختصات  $X_p-Y_p$  و مبدأ سیستم مختصات  $X_j-Y_j$  در نقطه 1- قرار داشته باشد آنگاه شتاب جزئی وارد بر جرم P ام (که در نقطه P+1 واقع شده) در اثر شتاب و سرعت زاویه‌ای مفصل زام در سیستم مختصات  $X_0-Y_0$  بصورت زیر خواهد بود:

$$A_{pj}^j = A_j^j + A_{pj}^j \quad (12)$$

بطوری که:

$$A_{pj}^j = \alpha_j^j \times r_{jp} + 2\omega_j^j \times V_{relp}^j + \omega_j^j \times (\omega_j^j \times r_{jp}) \quad (13)$$

$A_j^j$ : شتاب جزئی مبدأ سیستم مختصات  $X_j - Y_j$  در اثر دوران سیستم مختصات  $X_j - Y_j$

$A_{pj}^j$ : شتاب جرم P ام نسبت به مبدأ سیستم مختصات  $X_j - Y_j$   $\theta_j^j$ : زاویه بین دوازوی متوالی (بین بازوی (j-1) ام و زام)

$\omega_j^j$ ،  $\alpha_j^j$ : سرعت و شتاب زاویه‌ای جزئی بازوی زام

$V_{relp}^j$ : سرعت نسبی جزئی جرم P ام در اثر سرعت زاویه‌ای نسبی  $X_j - Y_j$  نسبت به یک نقطه ثابت در سیستم مختصات مرجع  $X_0 - Y_0$

$$V_{relp}^j = \omega_{relp}^j \times r_{relp}^j \quad (14)$$

$r_{relp}^j$ : فاصله نسبی جرم P ام تا مفصل 1-ز است که برابر  $r_{jp}$  خواهد بود.

$\omega_{relp}^j$ : سرعت زاویه‌ای نسبی سیستم مختصات  $X_j - Y_j$  نسبت به صفحه  $X_0 - Y_0$  طبق قاعده سینماتیک نسبی معادله (۱۵)،  $\omega_{relp}^j = \omega_{1(j-1)}$  می‌شود.

$$\omega_{1j} = \omega_j + \omega_{1(j-1)} \quad (15)$$

معادله (۱۳) بترتیب از سه بخش شناخته شده، شتاب زاویه‌ای  $A_M$ ، شتاب کوریولیس  $A_B$  و شتاب گریز از مرکز  $A_C$  تشکیل شده است. معادله (۱۳) را بصورت زیر نشان می‌دهیم.

$$A_{pj}^j = A_M^{pj} + A_B^{pj} + A_C^{pj} \quad (16)$$

#### ۴-۱- اثر شتاب زاویه‌ای

شتاب زاویه‌ای جزئی وارد بر جرم  $p$  ام برابر است با:

$$A_{M_{pj}}^j = \alpha_j^j \times r_{jp} \quad (23)$$

بطوری که:

$$\alpha_j^j = \ddot{\theta}_j \vec{k} \quad (24-1)$$

$$r_{jp} = \sum_{q=j}^p r_q \quad (24-2)$$

$$r_q = a_q (C\theta_{1q} \vec{i} + S\theta_{1q} \vec{j}) \quad (24-3)$$

با جایگذاری معادلات (۲۴) در (۲۳) خواهیم داشت:

$$A_{M_{pj}}^j = \ddot{\theta}_j \vec{k} \times \sum_{q=j}^p a_q (C\theta_{1q} \vec{i} + S\theta_{1q} \vec{j}) \quad (25)$$

با انجام ضرب برداری و استفاده از روابط مثلثاتی معادله (۲۵) بصورت معادله (۲۶) قابل بیان می‌باشد.

$$A_{M_{pj}}^j = \bar{r}_{jp} \ddot{\theta}_j \quad (26)$$

بطوری که:

$$\bar{r}_{jp} = \sum_{q=j}^p a_q [C(\theta_{1q} + \frac{\pi}{2}) \vec{i} + S(\theta_{1q} + \frac{\pi}{2}) \vec{j}] \quad (27)$$

طبق معادله (۱۷)، شتاب زاویه‌ای کل وارد بر جرم  $p$  ام برابر است با:

$$A_{M_p} = \sum_{j=1}^p \bar{r}_{jp} \ddot{\theta}_j \quad (28)$$

و با استفاده از معادله (۱۹) نیروی اینرسی جرم  $p$  ام برابر است با:

$$F_{M_p} = m_p \sum_{j=1}^p \bar{r}_{jp} \ddot{\theta}_j \quad (29)$$

مؤلفه تورک ایجاد شده در اثر  $F_{M_p}$  بر اساس معادله (۲۰) قابل محاسبه است. با قراردادن معادله (۲۹) در معادله (۲۰) خواهیم داشت:

$$\tau_{M_1} = \sum_{p=i}^N r_{ip} \times (m_p \sum_{j=1}^p \bar{r}_{jp} \ddot{\theta}_j) \quad (30)$$

حد نهایی اندیس  $p$ ،  $N$  و ماکزیمم اندیس  $j$ ،  $p$  می‌باشد. از این رو با استفاده از قاعده سریها می‌توان معادله (۳۰) را بصورت زیر نوشت:

$$\tau_{M_1} = \sum_{j=1}^{i-1} M_{ji} \ddot{\theta}_j + \sum_{j=i}^N M_{ij} \ddot{\theta}_j \quad (31)$$

در معادله (۱۲) شتاب جزئی مؤثر به سیستم مختصات  $X_j - Y_j$  مربوط به خودش ( $A_j^j = 0$ ) صفر می‌باشد. از این رو شتاب سینماتیکی کل وارد بر جرم  $p$  ام، در اثر حرکت بازوهای اول تا  $p$  ام، طبق معادله (۱۷) قابل محاسبه است.

$$A_p = \sum_{j=1}^p A_{pj}^j \quad (17)$$

شتاب جاذبه  $g$  بصورت ثابت بر تمامی گره‌ها بطور یکسان وارد می‌شود و مستقل از حرکات نسبی بازوهای ربات می‌باشد. شتاب جاذبه وارد بر جرم  $p$  ام را بصورت  $A_{Gp}$  نشان داده و اثر آن را به معادله (۱۷) می‌افزاییم. نهایتاً شتاب کل وارد بر جرم  $p$  ام طبق معادله (۱۸) قابل بیان می‌باشد.

$$A_p = A_{MP} + A_{BP} + A_{CP} + A_{GP} \quad (18)$$

#### ۴- معادلات دینامیکی

طبق قانون دوم نیوتن نیروی اینرسی که در اثر شتاب  $A_p$  در جرم  $p$  ام ( $m_p$ ) بوجود می‌آید برابر است با:

$$F_p = m_p A_p \quad (19)$$

طبق اصل اول دالامبر  $F_p$  بصورت یک بار استاتیکی در انتهای بازوی  $p$  ام قابل اعمال می‌باشد. چنانچه در مفصل  $i$  ام برای ایجاد حرکت یک محرک با تورک پیچشی  $\tau_i$  قرار داشته باشد، آنگاه بر اساس اصل دوم دالامبر بایستی تورک پیچشی  $\tau_i$  کلیه نیروهای اینرسی جرمهایی که بعد از آن واقع شده‌اند را تحمل کند. اگر فاصله برداری  $F_p$  تا مفصل  $i$  ام را با  $r_{ip}$  مشخص کنیم آنگاه:

$$\tau_i - \sum_{p=i}^N r_{ip} \times F_p = 0 \quad (20)$$

اندیس  $p$  از جرم  $i$  ام تا  $N$  که آخرین جرم است تغییر می‌کند. با جایگذاری معادله (۱۸) در (۱۹) می‌توان نیروی اینرسی هر جرمی را بر حسب اثرات هر یک از مؤلفه‌های شتاب، طبق معادله (۲۱)، تفکیک نمود.

$$F_p = F_{M_p} + F_{B_p} - F_{C_p} + F_{G_p} \quad (21)$$

چنانچه معادله (۲۱) را در معادله (۲۰) قرار دهیم آنگاه تورک پیچشی  $\tau_i$  بصورت معادله (۲۲) تفکیک می‌گردد.

$$\tau_i - \tau_{M_i} - \tau_{B_i} - \tau_{C_i} - \tau_{G_i} = 0 \quad (22)$$

در ادامه بمنظور سهولت در جمع‌بندی معادلات بفرم بسته اثرات هر کدام از شتابها را به تنهایی مورد بررسی قرار می‌دهیم.

بطوری که :

$$+ \sum_{u=i}^{j-1} a_u \sum_{v=j}^P a_v C_{(u+1)v}] \quad j > i \quad (41-1)$$

$$M_{ij} = M_{ji} \quad j < i \quad (41-2)$$

$$M_{ii} = \sum_{P=i}^N m_p \left[ \sum_{s=j}^P a_s^2 + 2 \sum_{s=i}^{P-1} a_s \left( \sum_{t=s+1}^P a_t C_{(s+1)t} \right) \right] \quad i=j \quad (41-3)$$

پس از مشخص شدن اجزاء ماتریس M معادله (۳۱) را به فرم ماتریسی می نویسیم :

$$\tau_M = [M] \{\dot{\theta}\} \quad (42)$$

## ۲-۴- اثر شتاب کوریولیس

شتاب کوریولیس جزیی که بر جرم P ام وارد می شود برابر است با :

$$A_{Bpj}^j = 2\omega_j^j \times V_{relp}^j \quad (43)$$

بطوری که :

$$\omega_j^j = \dot{\theta}_j \vec{k} \quad (44-1)$$

$$V_{relp}^j = \dot{\theta}_{1(j-1)} \vec{k} \times r_{jp} \quad (44-2)$$

با جایگذاری معادلات (۴۴) در (۴۳) و انجام ضرب برداری معادله (۴۳) بصورت (۴۵) قابل بیان می باشد.

$$A_{Bpj}^j = -2 r_{jp} \dot{\theta}_{1(j-1)} \dot{\theta}_j \quad (45)$$

با جایگذاری معادله (۴۵) در (۱۷) و نتیجه آن در معادله (۱۹)، نیروی اینرسی جرم P ام که حاصل از شتاب کوریولیس کل وارد بر جرم P ام است بدست می آید :

$$F_{Bp} = -2 m_p \sum_{j=1}^P r_{jp} \dot{\theta}_{1(j-1)} \dot{\theta}_j \quad (46)$$

با توجه به اینکه در ازاء 1=1 یک ترم شتاب گریز از مرکز ایجاد می کند، لذا اندیس 2 را از 2 شروع می نمایم. مؤلفه تورک ایجاد شده در اثر  $F_{Bp}$  بر اساس معادله (۲۰) قابل محاسبه است. با قراردادن معادله (۴۶) در معادله (۲۰) خواهیم داشت :

$$\tau_{Bi} = -2 \sum_{p=i}^N r_{ip} \times \left( m_p \sum_{j=2}^P r_{jp} \dot{\theta}_{1(j-1)} \dot{\theta}_j \right) \quad (47)$$

با توجه به خواص جابجایی اندیس در سری ها می توان نوشت :

$$\tau_{Bi} = \sum_{j=2}^{i-1} D_j^{1(i-1),i} \dot{\theta}_{1(j-1)} \dot{\theta}_j + \sum_{j=i}^N D_i^{1(i-1),j} \dot{\theta}_{1(j-1)} \dot{\theta}_j \quad (48)$$

بطوری که :

$$D_i^{1(i-1),j} = -2 \sum_{p=i}^N m_p r_{ip} \times r_{jp} \quad j \geq i \quad (49-1)$$

$$M_{ij} = \sum_{P=i}^N m_p r_{ip} \times \bar{r}_{jp} \quad j \geq i \quad (32-1)$$

$$M_{ji} = \sum_{P=j}^N m_p r_{jp} \times \bar{r}_{ip} \quad j < i \quad (32-2)$$

با توجه به معادله (۳۲-۱) و (۳۲-۲)، در دو حالت فوق اندیس p از مقدار حداقل بین j و i شروع می شود. بنابراین  $M_{ij}$  بصورت معادله (۳۳) تعریف می شود.

$$M_{ij} = \sum_{P=\min(i,j)}^N m_p r_{ip} \times \bar{r}_{jp} \quad (33)$$

حد بالای اندیس i و j برابر N می باشد در نتیجه M بصورت یک ماتریس  $N \times N$  در خواهد آمد. بر اساس خواص ضرب داخلی و خارجی که بین دو بردار و بردارهای عمود بر آنها برقرار است می توان نتیجه گرفت :

$$r_{jp} \times \bar{r}_{ip} = r_{ip} \cdot r_{jp} \quad (34)$$

$$r_{jp} \times \bar{r}_{ip} = r_{ip} \times \bar{r}_{jp} \quad (35)$$

از این دو طرفین معادله (۳۲-۱) و (۳۲-۲) برابر خواهد بود، یعنی  $M_{ij} = M_{ji}$ . در نتیجه ماتریس M یک ماتریس متقارن می باشد. با توجه به خاصیت تقارن ماتریس M، در مجموع  $N(N+1)/2$  درایه برای ایجاد ماتریس M احتیاج است. با انجام ضرب خارجی چند بردار متوالی می توان نوشت :

$$r_{ip} \times \bar{r}_{jp} = r_{i(i-1)} \times \bar{r}_{jp} + r_{jp} \times \bar{r}_{jp} \quad j \geq i \quad (36)$$

$$r_{ii} \times \bar{r}_{jj} = a_i a_j C_{\theta_{(i+1)j}} \quad j \geq i \quad (37)$$

$$r_{i(j-1)} \times \bar{r}_{jp} = \sum_{u=i}^{j-1} a_u \sum_{v=j}^P a_v C_{(u+1)v} \quad j \geq i \quad (38)$$

$$r_{jp} \times \bar{r}_{jp} = \sum_{s=j}^P a_s^2 + 2 \left[ \sum_{s=i}^{P-1} a_s \left[ \sum_{t=s+1}^P a_t C_{(s+1)t} \right] \right] \quad j \geq i \quad (39)$$

با جایگذاری معادله (۳۶) در معادله (۳۳) خواهیم داشت :

$$M_{ij} = \sum_{P=i}^N m_p r_{jp} \times \bar{r}_{jp} + \sum_{P=i}^N m_p r_{i(j-1)} \times \bar{r}_{jp} \quad j \geq i \quad (40)$$

با جایگذاری معادلات (۳۸) و (۳۹) در معادله (۴۰) عناصر ماتریس M مشخص می گردد. بنابراین برای ایجاد ماتریس M از مجموعه معادلات (۴۱) استفاده می شود.

$$M_{ij} = \sum_{P=i}^N m_p \left[ \sum_{s=j}^P a_s^2 + 2 \sum_{s=i}^{P-1} a_s \left( \sum_{t=s+1}^P a_t C_{(s+1)t} \right) \right]$$

$$\theta_{1(i-1)} = \theta_1 + \theta_2 + \dots + \theta_{(i-1)} \quad (57)$$

با جایگذاری معادله (57) در معادله (48) و تعریف ماتریس [B]، معادله (48) بصورت شناخته شده معادله (58) در می آید. در پایان معادله ماتریس [B] بصورت یک ماتریس  $N \times N(N-1)/2$  در می آید.

$$\tau_B = [B] \{\theta \theta\} \quad (58)$$

بطوری که :

$$B_i^{kj} = D_i^{kj} \quad j > i \quad (59)$$

$$B_i^{jk} = B_j^{kj} \quad (60-1)$$

$$B_i^{kj} = -B_j^{kj} \quad j \leq i \wedge i < k \quad (60-2)$$

$$B_i^{ki} = 0 \quad k \leq i \quad (60-3)$$

شکل بسط داده شده ماتریس [B] بصورت معادله (60-4) در پائین صفحه می باشد.

### ۳-۴- اثر شتاب گریز از مرکز

شتاب گریز از مرکز جزئی که بر جرم P وارد می شود برابر است با :

$$A_{Cp}^j = \omega_j^2 \times r_{jp} \quad (61)$$

با انجام ضرب برداری معادله (61) بصورت معادله (62) قابل بیان می باشد.

$$A_{Cp}^j = -r_{jp} \theta_j \dot{\theta}_j \quad (62)$$

با جایگذاری معادله (62) در معادله (17) و نتیجه آن در معادله (19)، نیروی اینرسی جرم P ام که حاصل از شتاب گریز از مرکز است بدست می آید:

$$F_{Cp} = -m_p \sum_{j=1}^P r_{jp} \theta_j \dot{\theta}_j \quad (63)$$

مؤلفه تورک ایجاد شده در اثر  $F_{Cp}$  بر اساس معادله (20) قابل

$$D_j^{I(i-1),i} = -2 \sum_{p=j}^N m_p r_{jp} \times r_{ip} \quad j < i \quad (49-2)$$

با توجه به معادله (49-1) و (49-2)، در دو حالت فوق اندیس p از مقدار حداقل بین j و i شروع می شود. بنابراین  $D_{ij}$  بصورت معادله (50) تعریف می شود.

$$D_i^{I(i-1),j} = -2 \sum_{p=\min(i,j)}^N m_p r_{ip} \times r_{jp} \quad (50)$$

چنانچه جای i و j در معادله (49-1) عوض شود آنگاه :

$$D_j^{I(i-1),i} = -2 \sum_{p=j}^N m_p r_{jp} \times r_{ip} \quad i > j \quad (51)$$

طبق خاصیت جابجایی در ضرب خارجی، بین دو معادله (49-1) و (51) رابطه زیر برقرار خواهد بود :

$$D_j^{I(i-1),i} = -D_i^{I(i-1),j} \quad (52)$$

بنابراین ماتریس D یک ماتریس پاد متقارن می باشد. چنانچه  $i=j$  باشد طبق خواص ضرب خارجی خواهیم داشت :

$$D_i^{I(i-1),i} = -2 \sum_{p=i}^N m_p r_{ip} \times r_{ip} = 0 \quad i=j \quad (53)$$

با انجام ضرب خارجی چند بردار متوالی می توان نوشت :

$$r_{ii} \times r_{jj} = a_i a_j S_{(i+1)j} \quad j > i \quad (54)$$

$$r_{ip} \times r_{jp} = \sum_{u=i}^{j-1} a_u \sum_{v=j}^P a_v S_{(u+1)v} \quad j > i \quad (55)$$

با جایگذاری معادله (55) در معادله (49-1) اجزاء بالا مثلثی ماتریس D، ( $j > i$ ) بدست می آید. بنابراین برای ایجاد اجزاء ماتریس D از مجموعه معادلات (56) استفاده می شود.

$$D_i^{I(i-1),j} = -2 \sum_{p=i}^N [m_p \sum_{u=i}^{j-1} a_u \sum_{v=j}^P a_v S_{(u+1)v}] \quad j > i \quad (56-1)$$

$$D_i^{I(i-1),j} = 0 \quad j = i \quad (56-2)$$

$$D_j^{I(i-1),i} = -D_i^{I(i-1),j} \quad j < i \quad (56-3)$$

پس از مشخص شدن اجزاء ماتریس D، برای تبدیل معادله (48) به فرم استاندارد فضای حالت،  $\theta_{1(i-1)}$  را بسط می دهیم.

(60-4)

$$[B] = \begin{bmatrix} b_1^{1,2} & b_1^{1,3} & \dots & b_1^{1,n} & \vdots & b_1^{2,3} & b_1^{2,4} & \dots & b_1^{2,n} & \vdots & \dots & b_1^{n-2,n-1} & b_1^{n-2,n} & \vdots & b_1^{n-1,n} \\ 0 & b_2^{1,3} & \dots & b_2^{1,n} & \vdots & b_2^{2,3} & b_2^{2,4} & \dots & b_2^{2,n} & \vdots & \dots & b_2^{n-2,n-1} & b_2^{n-2,n} & \vdots & b_2^{n-1,n} \\ -b_2^{1,3} & 0 & \dots & b_3^{1,n} & \vdots & 0 & b_3^{2,4} & \dots & b_3^{2,n} & \vdots & \dots & b_3^{n-2,n-1} & b_3^{n-2,n} & \vdots & b_3^{n-1,n} \\ \vdots & \vdots & \vdots & \vdots & \vdots & \vdots & \vdots & \vdots & \vdots & \vdots & \vdots & \vdots & \vdots & \vdots & \vdots \\ -b_2^{1,n-1} & -b_3^{1,n-1} & \dots & b_{n-1}^{1,n} & \vdots & -b_3^{2,n-1} & -b_2^{2,n-1} & \dots & b_{n-1}^{2,n} & \vdots & \dots & 0 & b_{n-1}^{n-2,n} & \vdots & b_{n-1}^{n-1,n} \\ -b_2^{1,n} & -b_3^{1,n} & \dots & 0 & \vdots & -b_3^{2,n} & -b_2^{2,n} & \dots & 0 & \vdots & \dots & -b_{n-1}^{n-2,n} & 0 & \vdots & 0 \end{bmatrix}$$

$$\tau_{ip} \times \vec{j} = - \sum_{q=i}^N a_q C\theta_{1q} \vec{k} \quad (72)$$

با جایگذاری معادله (72) در معادله (71) خواهیم داشت:

$$\tau_{G1} = G_i g \quad (73)$$

بطوریکه:

$$G_i = \sum_{p=i}^N m_p \left( \sum_{q=i}^N a_q C\theta_{1q} \right)$$

بنابراین G یک ماتریس (N×1) می‌باشد. پس از مشخص شدن

اجزاء ماتریس G معادله (73) را به فرم ماتریسی می‌نویسیم:

$$\tau_G = [G] \{g\} \quad (74)$$

#### 5.4- معادلات دینامیکی نهایی

با جایگذاری ماتریسهای بدست آمده از معادلات (42)،

(58)، (69) و (74) در معادله (22)، معادلات دینامیکی ربات

بصورت معادله (75) قابل بیان است.

$$\tau = [M] \{\ddot{\theta}\} + [B] \{\dot{\theta} \dot{\theta}\} + [C] \{\theta^2\} + [G] \{g\} \quad (75)$$

#### 5- مثال

با استفاده از معادلات بدست آمده، معادلات دینامیکی یک

ربات صفحه‌ای با 3 درجه آزادی (N=3) ایجاد گردیده است.

اجزاء ماتریس [M]:

$$M_{11} = m_1 a_1^2 + m_2 [a_1^2 + a_2^2 + 2a_1 a_2 C_{22}]$$

$$+ m_3 [a_1^2 + a_2^2 + a_3^2 + 2a_1 a_2 C_{22}]$$

$$+ 2a_2 a_3 C_{33} + 2a_1 a_3 C_{23}]$$

$$M_{22} = m_2 a_2^2 + m_3 [a_2^2 + a_3^2 + 2a_2 a_3 C_{33}]$$

$$M_{33} = m_3 a_3^2$$

$$M_{12} = m_2 [a_2^2 + 2a_1 a_2 C_{22}]$$

$$+ m_3 [a_2^2 + a_3^2 + 2a_2 a_3 C_{33}]$$

$$+ a_1 a_2 C_{22} + a_1 a_3 C_{23}]$$

$$M_{13} = m_3 [a_3^2 + a_1 a_3 C_{23} + a_2 a_3 C_{33}]$$

$$M_{23} = m_3 [a_3^2 + a_2 a_3 C_{33}]$$

$$M_{31} = M_{13} \quad M_{32} = M_{23} \quad M_{21} = M_{12}$$

امیرکبیر / سال هشتم / شماره 29

محاسبه است. با قراردادن معادله (63) در معادله (20) خواهیم داشت:

$$\tau_{C1} = \sum_{p=i}^N \tau_{ip} \times \left( m_p \sum_{j=1}^P \tau_{jp} \theta_j \dot{\theta}_j \right) \quad (64)$$

با توجه به خواص جایجایی اندیس در سریها می‌توان نوشت:

$$\tau_{C1} = \sum_{j=1}^N C_i^{jj} \theta_j \dot{\theta}_j \quad (65)$$

بطوریکه:

$$C_i^{jj} = \sum_{p=\min(i,j)}^N m_p \tau_{ip} \times \tau_{jp} \quad (66)$$

از تساوی معادله (66) با معادله (50) رابطه زیر بین اجزاء

ماتریس C، D نتیجه خواهد شد:

$$C_i^{jj} = \frac{1}{2} D_i^{1(j-1)j} \quad j > i \quad (67)$$

با توجه به خواص ماتریس D، برای ایجاد ماتریس C از مجموعه

معادلات (68) استفاده می‌شود.

$$C_i^{jj} = \frac{1}{2} D_i^{1(j-1)j} \quad j > i \quad (68-1)$$

$$C_i^{jj} = 0 \quad j = i \quad (68-2)$$

$$C_i^{jj} = -C_j^{ji} \quad j < i \quad (68-3)$$

ماتریس C یک ماتریس N×N بوده و برای ایجاد آن به

N(N-1)/2 درآیه نیاز می‌باشد. پس از مشخص شدن اجزاء

ماتریس C معادله (65) را به فرم ماتریسی می‌نویسیم:

$$\tau_C = [C] \{\theta^2\} \quad (69)$$

#### 4-4- اثر شتاب جاذبه

شتاب ثقل g بر روی تمام جرمها بطور یکسان وارد می‌گردد

از این رو شتاب ثقل وارد بر جرم P ام برابر است با:

$$A_{Gp} = -g \vec{j} \quad (70)$$

با جایگذاری معادله (70) در معادله (19)، نیروی اینرسی جرم

P ام که حاصل از شتاب جاذبه است بدست می‌آید. مؤلفه

تورک ایجاد شده در اثر F<sub>Gp</sub> بر اساس معادله (20) قابل محاسبه

است. بنابراین:

$$\tau_{G1} = -g \sum_{p=i}^N m_p \tau_{ip} \times \vec{j} \quad (71)$$

طبق قواعد ضرب خارجی، و در نظر گرفتن بسط  $\tau_{ip}$  می‌توان

نوشت:



### اجزاء ماتریس [B]:

طبق روابط بدست آمده ابتدا ماتریس D را بدست می آوریم:

$$D_1^{11,2} = -2[m_2 a_1 a_2 S_{22} + m_3 (a_1 a_2 S_{22} + m_3 a_1 a_3 S_{23})]$$

$$D_1^{12,3} = -2[m_3 a_1 a_3 S_{23} + m_3 a_2 a_3 S_{33}]$$

$$D_2^{12,3} = -2[m_3 a_2 a_3 S_{33}]$$

$$D_2^{11,2} = 0 \quad D_3^{12,3} = 0$$

$$D_2^{10,1} = -D_1^{11,2} \quad D_3^{10,1} = -D_1^{12,3} \quad D_3^{11,2} = -D_1^{12,3}$$

و با استفاده از معادلات (۵۹) و (۶۰)، اجزاء ماتریس [B] بدست می آید:

$$B_1^{1,2} = D_1^{11,2} \quad B_1^{1,3} = B_1^{2,3} = D_1^{12,3} \quad B_2^{1,3} = B_2^{2,3} = D_2^{12,3}$$

### اجزاء ماتریس [C]:

طبق معادلات (۶۸) می توان نوشت:

$$C_1^{2,2} = \frac{1}{2} D_1^{11,2} \quad C_1^{3,3} = \frac{1}{2} D_1^{12,3}$$

$$C_2^{3,3} = \frac{1}{2} D_2^{12,3}$$

$$C_2^{1,1} = -C_1^{2,2} \quad C_3^{1,1} = -C_1^{3,3} \quad C_3^{2,2} = -C_2^{3,3}$$

$$C_1^{1,1} = 0 \quad C_2^{2,2} = 0 \quad C_3^{3,3} = 0$$

### اجزاء ماتریس [G]:

$$G_1 = m_1 a_1 C_{11} + m_2 [a_1 C_{11} + a_2 C_{12}]$$

$$+ m_3 [a_1 C_{11} + a_2 C_{12} + a_3 C_{13}]$$

$$G_2 = m_2 a_2 C_{12} + m_3 [a_2 C_{12} + a_3 C_{13}]$$

$$G_3 = m_3 a_3 C_{13}$$

بنابراین معادلات دینامیکی نهایی برابر است با:

در جدول (۱) حجم محاسبات عددی مورد نیاز برای ایجاد ماتریسهای ضرائب مثال فوق (N=3) با روشهای لاگرانژ- اوپلر، لاگرانژ- دالامبر [۱]، یک روش لاگرانژ بهینه شده [۳] و روش ارائه شده در این مقاله با یکدیگر مقایسه گردیده اند.

جدول (۱) مقایسه حجم محاسبات عددی

روش	لاگرانژ- اوپلر	لاگرانژ- دالامبر	لاگرانژ بهینه شده	این مقاله
تعداد ضرب	۱۰۴۴۱	۸۶۸	۴۹۸	۹۴
تعداد جمع	۷۹۶۰	۶۲۸	۳۸۱	۴۳

### نتیجه گیری

در این مقاله فرم بسته ای از معادلات دینامیکی رباتهای صفحه ای ارائه شد. استفاده از روش شتابهای جزئی و تفکیک ترمهای شناخته شده شتاب، کمک قابل توجهی برای رسیدن به فرم بسته معادلات نموده است.

روش ارائه شده در مقایسه با روش لاگرانژ از محاسبات کمتری برخوردار می باشد و نسبت به مدل های ارائه شده قبلی از راندمان بالاتری برخوردار می باشد. این راندمان بالا به دلیل حذف عملیات ماتریسی واسطه ای نظیر معکوس سازی، Trace و ... می باشد. همچنین در روش لاگرانژ به دلیل انجام عملیات ریاضی ماتریسی هزینه کامپیوتری بیشتری از نظر زمان ایجاد معادلات، امکانات نرم افزاری و سخت افزاری لازم می باشد. در حالی که معادلات دینامیکی ارائه شده بطور دستی قابل ایجاد می باشد.

$$\begin{Bmatrix} \tau_1 \\ \tau_2 \\ \tau_3 \end{Bmatrix} = \begin{bmatrix} M_{11} & M_{12} & M_{13} \\ M_{12} & M_{22} & M_{23} \\ M_{13} & M_{23} & M_{33} \end{bmatrix} \begin{Bmatrix} \ddot{\theta}_1 \\ \ddot{\theta}_2 \\ \ddot{\theta}_3 \end{Bmatrix} + \begin{bmatrix} B_1^{1,2} & B_1^{1,3} & B_1^{2,3} \\ 0 & B_2^{1,3} & B_2^{2,3} \\ -B_2^{1,3} & 0 & 0 \end{bmatrix} \begin{Bmatrix} \dot{\theta}_1 \dot{\theta}_2 \\ \dot{\theta}_1 \dot{\theta}_3 \\ \dot{\theta}_2 \dot{\theta}_3 \end{Bmatrix} + \begin{bmatrix} 0 & C_1^2 & C_1^3 \\ -C_1^2 & 0 & C_2^3 \\ -C_1^3 & -C_2^3 & 0 \end{bmatrix} \begin{Bmatrix} \dot{\theta}_1^2 \\ \dot{\theta}_2^2 \\ \dot{\theta}_3^2 \end{Bmatrix} + \begin{Bmatrix} G_1 \\ G_2 \\ G_3 \end{Bmatrix} \{g\}$$

### مراجع

- [1] Fu, K.S., Gonzalez, R.C., Lee C.S.G., Robotics: Control, Sensing, Vision, and Intelligence, McGraw-Hill International Editions, 1987.
- [2] Meghdari, A., "Dynamics Simulation Algorithms of Industrial Robots", Amir-Kabir, Journal of Science & Engineering, Vol. 4, No. 15, PP. 79-90, 1990.

- [3] Megahed, S., Renaud, M., "Minimization of the Computation Time Necessary for the Dynamic Control of Robot Manipulators", *Proceedings 12th International Symposium on Industrial Robots, 6th International Conference on Industrial Robots Technology, June 9th- 11th, 1982. Paris, France. PP. 469-478.*
- [4] Renaud, M. "An Efficient Iterative Analytic Procedure for Obtaining A Robot Manipulator Dynamic Model", *Robotics Reserch, ed. by M. Brady & R. Paul, PP. 479-769, MIT Press, Cambridge, 1984.*
- [5] Khatib, O., Burdick, J.W., "Dynamic Optimization in Manipulator Design: The Operational Space Approach", *ASME Winter Annal Meeting, Miami, FL, November, 1985.*
- [6] Murray, J.J., Neuman, C.P., "ARM: An Algebraic Robot Dynamic Modeling Program", *Proceedings of the 1994 International IEEE Conference on Robotics, Atlanta, GA, March 13-15, 1984, PP. 115-120.*
- [7] Burdick, J.W., "An Algorithm for Generation of Efficient Manipulator Dynamic Equations". *Proceedings IEEE Conference on Robotics and Automations San Francisco, PP. 212-218 April 1986.*
- [8] Meghdari, A., "Conceptual Design and Characteristics of A Dual Arm Cam-Lock Mamipulator". *Proceedings of the ASCE SPACE-94 Conference on Robotics for Challenging Environments, Feb. 28-March 3, 1994, PP. 140-148, Albuquerque, N.M, USA.*
- [9] Craig, J.J., *Introduction to Robotics: Mechanics and Control, Addison-Wesley, Reading, Mass. 1986.*
- [10] Kane, T.R., Levinson, D.A., "The Use of Kane's Dynamical Equations in Robotics". *The International Journal of Robotics Reserch, Vol. 2, No. 3, PP. 3-20, Fall 1983.*
- [11] Kane, T.R., Levinson, D.A., "Dynamics: Theory and Applications. McGraw - Hill Book Co. 1985.